

## 討17

## 工具鋼のイオン窒化

関西大学 工業技術研究所 工博 高瀬孝夫

1 諸言：近年、50年以前から使用されてきた  $\text{NH}_3$  ガスのみによる窒化の代りに、種々の窒化法が開発されてきたが、最近、とくに、その利用度が高まってきた方法の一つとしてイオン窒化法があげられる。イオン窒化法の特徴は、無公害でガス使用量が少なく、他の窒化法にくらべて窒化時間が短かく、処理温度が350~600°Cと低いだけ変形が少ない。工具鋼として使用される金型鋼、切削工具鋼は、主として窒化処理前に焼入れ焼もどしされるが、窒化温度が焼もどし温度に近いので、両焼もどし効果が期待でき、時効硬化性金型鋼では人工時効を窒化によって果すことができる。

工具鋼で窒化されるものには種々の用途があるが、熱間および冷間プレス用、熱・冷間押出し用、熱・冷間ロール用などと各種の切削工具用があげられよう。工具鋼をイオン窒化する場合、一般機械構造用部品の處理となるが、この処理条件をあやまると、耐久性の向上が果せない場合が多く、各々の目的に応じた条件を決定する必要がある。金型および切削工具の処理条件と性能向上については多くの報告<sup>1)~4)</sup>がある。本報告は、工具鋼のイオン窒化に関する基礎的問題と実用例について述べる。

2 イオン窒化法とは：イオン窒化装置の主体は、真空炉、真空ポンプ、電気ユニット、ガス供給源 ( $\text{N}_2, \text{H}_2$  その他)、ガス流量計、温度測定およびガス分圧測定器などとなり、減圧された真空炉中で、処理部品を陰極①、炉体を陽極④にセットし、炉内を  $\text{N}_2, \text{H}_2$  必要に応じて炭素系が入る低圧 (0.5~10 Torr) のガス雰囲気にし、これに 300~500 V の電圧を印加すると、グロウ放電 (Glow discharge) を起して装入した  $\text{N}_2, \text{H}_2$  ガスが  $\text{N}^+, \text{H}^+$  イオンへ変る。加えた電圧は処理部品の表面で急激な電圧降下を起し、イオンのもつ高い運動エネルギーは処理部品の表面に衝突することにより熱エネルギーへ変り、処理部品を加熱すると同時に、一部はイオンを注入することにより窒化が起る。したがって、処理部品を別の方法で加熱する必要がない。

使用する混合ガスとしては、一般に  $\text{N}_2 : \text{H}_2 = 10:70 : 90:30$  (vol %) が使用され、 $\text{N}_2$  比率を自由に変えうる点がイオン窒化の特徴であり、使用ガス量をきめる必要はない。例えば、 $\text{N}_2 : \text{H}_2 = 70:30$ , 5 Torr では、 $\text{N}_2$  の分圧は  $P_{\text{N}_2} = 4.61 \times 10^{-3}$  atm である。

3 窒化にさいして必要な Fe-N 系および Fe-N-C 系状態図<sup>10)</sup>： 窒化にさいして必要な Fe-N 系および Fe-N-C 系状態図を知る必要がある。Fe-N 系での二元共析点 (グラウナイト変態,  $\gamma \rightleftharpoons \gamma' + \delta/\text{Fe} A_1 = 590^\circ\text{C}$  で  $\text{Fe}-\text{C}$  系の  $725^\circ\text{C}$  よりも低い。窒化処理材には C を含有しており、また N と C を同時に拡散させる熱窒化法が多く使用されているので、Fe-N-C 系を考える必要がある。

一般的に、窒化にあたり、処理部品の最表面に、炭素鋼の場合、稠密六方晶の  $\epsilon$  ( $\text{Fe}_3\text{N}$  ベース) 炭化物十面心立

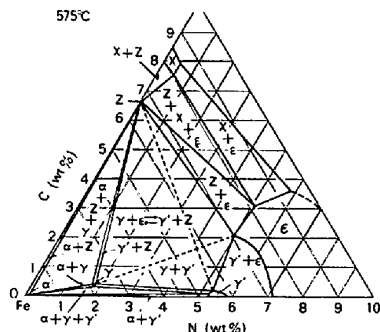


Fig. 2. Fe-N-C ternary diagram at 575°C.

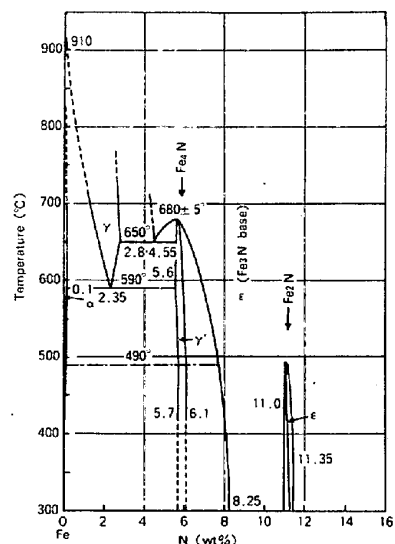


Fig. 1. Fe-N binary diagram.

方晶  $\beta$  ( $Fe_3N$ ) の窒化物層(化合物層または白層といふ)と、内部に N の拡散した拡散層をえらむ、 $\Sigma$  相は Fe-N-C 系状態図によると、550°Cで最大3.8%のCを固溶しうる。工具鋼には、Cr, V, Moなどの硬い窒化物を生成する合金元素を含有するので、最外層の窒化物層には、 $\Sigma$  および外に CrN, Cr<sub>2</sub>N, VN, Mo<sub>2</sub>N を含まざる窒化物が析出し、硬さがいちじるしく上昇し、顕微鏡では黒色に腐食される。これらの窒化物は微細であるので、X線回折では同定されなく、 $\Sigma$ ,  $\beta'$ のみ同定される。窒化物層の硬さはいちじるしく硬く、Hv 1000 以上もあることから、工具鋼は使用条件によってはこの存在が性能を低下させた場合もあり、また  $\Sigma$ ,  $\beta'$  は 600°C以上のか熟で分解してじめ 700°Cでは完全に分解し、窒化物層を弱化する。

4 窒化物層中の  $\Sigma$ ,  $\beta'$  の加熱による分解：著者らの研究<sup>11)</sup>によると軟鋼を窒化し、900°Cまでの各温度で加熱後急冷した結果によると、Fig. 3 および Photo. 1 に示すように、600~650°Cでは  $\Sigma$ ,  $\beta'$  の窒素量が減少し、700°C以上で完全に分解して消失する。しかし、N が内部に拡散して Fe-N-C 系のマルテンサイトとなる。熱間用金型で 600°C付近の温度になると基地硬度の低下とともに窒化物層が弱化し使用に堪えなくなる従来の報告<sup>8)</sup>と一致する。

したがつて、熱間工具鋼の窒化温度は鋼の焼もどし温度よりも低い方が望ましく、また型の冷却方法を考える必要がある。

5 窒化物生成元素の標準生成自由エネルギー<sup>12)</sup>：工具鋼に含まれている合金元素の窒化物生成自由エネルギーを Table 1 に示す。工具鋼中で、合金元素は主として複炭化物として存在しており、これが窒化されると、窒化物を生成し易い合金元素が硬い窒化物を生成する目安として、生成自由エネルギーより判断して、V, Cr, Mo は窒化物を生成し易いことが推定されるであろう。

6 工具鋼のイオソ窒化組織にして何を選ぶか：工具鋼をイオン窒化する場合、窒素量、窒素分圧、処理温度、処理時間を変えたことにより、3種類の組織がえられ、組織を自由に変化しうる。

Photo. 2<sup>13)</sup> は3種の窒化組織を示し、使用目的に応じて、A, B, C すなわち、A = 面心立方晶の  $\beta'$  ( $Fe_3N$ ) + 合金元素の窒化物を含む窒化物層と拡散層、B = 積密六方晶  $\Sigma$  + 合金元素の窒化物と拡散層、C = 拡散層のみの3種である。

軟性について、これらの組織と参考のために  $NH_3$  窒化のものについて比較すると、Fig. 4<sup>14)</sup> に示す限り試験において、拡散層の  $\alpha$  (a) が最も軟性が大きく、次に  $\beta'$  (b) である。熱間用工具については  $\beta'$  切削工具では拡散層の  $\alpha$  が実用的効果が大きい報告<sup>2)</sup> がある。

拡散層のみの組織をうるには、窒素ガ

Table 1. Standard free-energy of nitride formation at 800°K (527°C).

Nitride	Free-energy cal/mol
CrN	-12 100
Cr <sub>2</sub> N	-14 300
VN	-25 800
Mo <sub>2</sub> N	-4 700
AlN	-57 100
TiN	-62 300
Si <sub>3</sub> N <sub>4</sub>	-11 300
Fe <sub>3</sub> N	+6 600
Fe <sub>2</sub> N	+10 200

Temp.	Structure	
25°C	$\gamma$ + $\alpha$ + $\alpha$	As tufftrided
600	$\gamma$ + $\alpha$ + $\alpha$	
650	$\gamma$ + $\alpha$	
700	$\gamma$	
750	$\gamma$	
800	$\gamma$ + $M\alpha$	
850	$\gamma$ + $M\alpha$	
900	$\gamma$ + $M\alpha$	

Fig. 3. Structure of tufftrided and water quenched mild steel from reheating temperature.

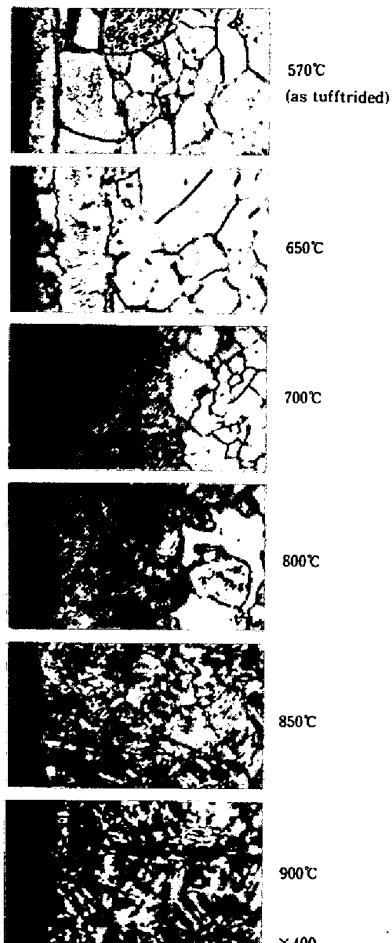


Photo. 1. Change of microstructure of tufftrided and mild steel from reheating temperature.

テンシャルを低くし、できる限り低温で短時間処理することが報告<sup>14)</sup>されているが、拡散層が浅くなる。

ここで、窒化物層を生成させることにより拡散層をより深くしたのち、処理部層の構造に拘束が残るが、機械的、化学的方法によるオースパッタサングトにより窒化物層を除去する方法を述べる。

## 7 窒化物層の除去法

### 7.1 機械的あるいは化学的方法<sup>15)</sup>:

もっとも簡単な除去法として、(1) ラッピング法

(2) 200 × 250  $\mu$  Al<sub>2</sub>O<sub>3</sub>によるブラスト法

(3) アルカリ溶液中に浸漬する方法 (4) 電解研磨法などがあげら  
れ<sup>16)</sup>。

7.2 加熱による方法<sup>15)</sup>: 500~570°C付近の天気中加熱法と  
 $N_2 : H_2 = 10 : 1.5$  の混合ガス中で加熱する方法がある。

7.3 水素イオンスペッタリングによる除去法<sup>16)</sup>: 著者らは、SKD61, SKD62, SKD5について、550°C, 5 Torr,  $N_2 : H_2 = 70 : 30$ で窒化後、同一温度でスペッタリングした。Photo.3の窒化のまま生成した窒化物層は除去されて Photo.4 に示す X線回折では 550°C × 3h~5h で完全に除去されると同時に回折強度曲線を求めた。SKD5について、このときの回折強度曲線を求めて、Fig.5のように、窒化物除去、窒化物層直下の窒化物が減少して硬さが低下している。この事実は D.B. Clayton ら<sup>15)</sup>が  $N_2 + H_2$  ガス中加熱されたと確認している。

## 8 高速度鋼のイオン窒化後焼もどし加熱による壽命の向上:

切削工具鋼の場合、拡散層のみ生成させることはあるが、この方法として著者らの研究<sup>17)</sup>による高速度鋼をイオン窒化後焼もどし温度で再加熱し、窒化物除去によりやがて硬さ強度曲線をうる方法である。鋼種として Mo 高速度鋼 (C 1.00, Cr 4.00, Mo 8.75, W 1.75, V 2.00) を使用し、1180°Cで油焼入後、 $N_2 : H_2 = 20 : 80$ , 10 Torr, 500°C × 30 min イオン窒化後、570°C × 1 h 2~3 回再焼もどしを行った。このときの硬さ強度曲線を Fig.6 に示す。焼もどし回数がまれば、やがてかなり硬さ曲線が立ち、切削工具としての必要条件になる。窒化前の素材の X 線回折では、 $N_6C + d'$  が同定されたが、イオン窒化すると  $d' + d''$  となり、570°C再焼もどしでは  $d'$  は消失して Photo.5 のように拡散層のみとなっている。

この結果を管用タップ (JIS B 4446) に応用し、被切削材として、機械構造用鋼を用い、壽命試験の結果、焼入れ焼もどしのままで 1000 個、イオン窒化のままで 200~1700 個であったが、窒化後再焼もどしを行つたものは 5000 個以上となり、5 倍以上の壽命が向上した。

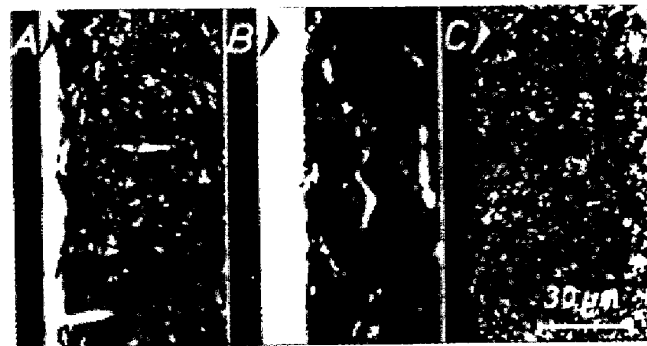


Photo. 2. Structure of three ion-nitrided layer (C 0.38, Cr 1.10, Mo 1.50, V 1.00)

Material: 32CrMoV 1210  
a,b,c:ionnitrided:24hr,510°C  
d: gas nitrided:36hr,500°C  
Surface hardness Hv(1kgf): 760~820  
Hardness depth until Hv=500: 0.19~0.22mm

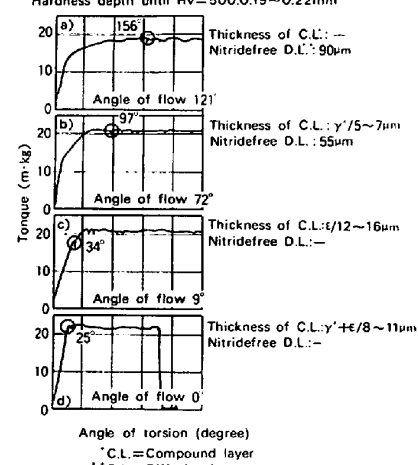


Fig. 4. Torsion crack sensitivity of 32CrMoV 1210 nitrided in various ways.



Photo. 3. Microstructure of various die steels, nitrided for 15hr at 550°C in  $N_2 : H_2 = 70 : 30$  ( $\times 400$ , Etching: 3% Nital).

9 工具鋼のイオン窒化処理実用例： Photo. 6<sup>(3)</sup> は熱間プレス用金型 (C 0.38, Si 1.10, Cr 5.50, Mo 1.50, V 1.00) を  $540^{\circ}\text{C} \times 16\text{hr}$  イオン窒化後の硬度曲線と組織を示し、表面硬度 Hv 1000 程度、全窒化深さは 0.3 mm、窒化物層厚さは 6 μ で  $\mu$  級相、拡散層の結晶粒界に窒化物は存在しない。NH<sub>3</sub> 窒化は  $< 3\%$  で壽命が 25~62% 上昇した。

#### (西ドイツの実用結果)

わが国でも、最近、各種の塑性プレス型をイオン窒化して、金型の耐久度はいちじるしく向上し、時効硬化材を使用し、 $450^{\circ}\text{C}$  でイオン窒化か人工時効凍結化と併用のものが実用化されつつある。

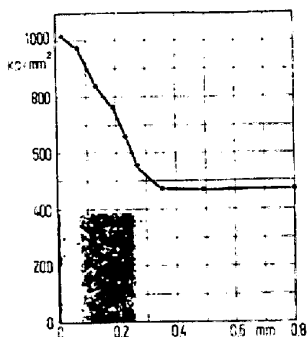


Photo. 6 Hardness distribution ( $540^{\circ}\text{C} \times 16\text{hr}$  ion nitrided).

C 0.38  
Si 1.10  
Cr 5.50  
Mo 1.50  
V 1.00

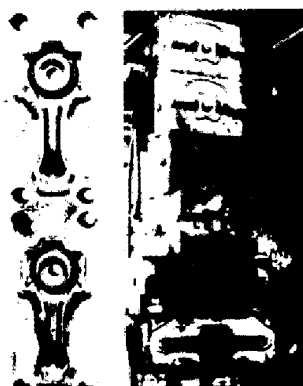


Photo. 7 Forging die.  
Left :  $530^{\circ}\text{C} \times 20\text{hr}$  ion-nitrided  
Right :  $540^{\circ}\text{C} \times 24\text{hr}$  ion-nitrided



Photo. 9.  $500^{\circ}\text{C} \times 30\text{ min}$  ion nitrided, diffusion zone ( $25\mu$ ) (High speed steel). ( $\times 200$ )

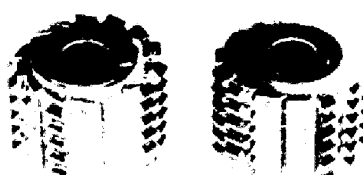


Photo. 8.  $500^{\circ}\text{C} \times 30\text{ min}$  ion nitrided  
(High speed steel).

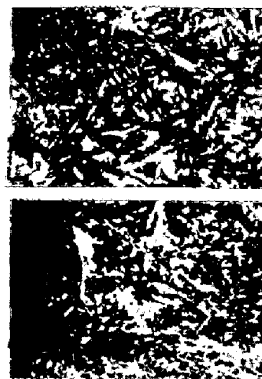


Photo. 4. Microstructure of various die steels, treated by  $\text{H}^+$  sputtering for 10hr at  $550^{\circ}\text{C}$  after ion-nitriding for 10hr at  $550^{\circ}\text{C}$  in  $\text{N}_2 : \text{H}_2 = 70 : 30$  ( $\times 400$ , Etching: 3% Nital).

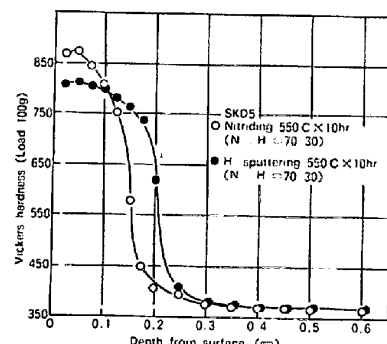


Fig. 5 Hardness distribution curves of SKD5, treated by  $\text{H}^+$  sputtering for 10hr at  $550^{\circ}\text{C}$  after nitriding for 10hr at  $550^{\circ}\text{C}$  in  $\text{N}_2 : \text{H}_2 = 70 : 30$ .

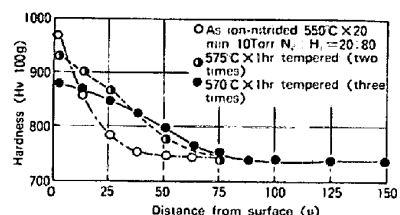


Fig. 6 Hardness distribution of ion-nitrided and tempered high speed steel tap.



Photo. 5.  $570^{\circ}\text{C} \times 1\text{hr}$  3 times tempered after in nitrided (deep diffusion zone). ( $\times 200$ )

Photo. 7 は熱間プレス用金型の一例で、左図は40kg重量である。(西ドイツ)  
Photo. 8<sup>(3)</sup> はカッターで、その組織を Photo. 9 に示し、拡散層のみ 2~3倍向上した。(西ドイツ)

#### (文 献)

- 1) B. Edenhofer : Oberflächentechnik, 11 (1973) 7/8, S 22
- 2) B. Edenhofer : Härtereitechn. Mitt., 30 (1975) 1, S 21
- 3) K. Keller : Härtereitechn. Mitt., 26 (1971) 2, S 120
- 4) 保沢：金属材料, 15 (1975) 7, 10
- 5) 小林：金属材料, 15 (1975) 7, 57
- 6) 高瀬：金属材料, 15 (1975) 7, 19
- 7) 上原, 研川, 関谷, 神谷：電気製鋼, 48 (1977) 1, 4
- 8) 上原, 研川, 関谷, 神谷：電気製鋼, 48 (1977) 16, 17, 18
- 9) 日本ハイカーライジング技術資料
- 10) F. K. Naumann und G. Lansheid : Arch. Eisenhüttenw., 36 (1968), 677
- 11) 高瀬, 中村, 田中, 池永：熱処理, 16 (1976) 4, 208
- 12) 沢村：鉄鋼の化学熱力学, (1971), 181
- 13) Klöckner Ionon GmbH 技術資料
- 14) B. Edenhofer : Heat Treatment of Metals, (1972), 2
- 15) D. B. Clayton and K. Sachs : Heat Treatment of Metals, (1976), 1
- 16) 高瀬, 中村, 宮田：日本熱処理技術協会, (1979), 5月講演
- 17) 高瀬, 藤村, 市井：関西大学工業技術研究所技報, (1979), 3月